

انباشت شده ضروری می‌باشد.

بررسی اپتیکال^۶ پیل سوختی با بدنه شفاف، یک روش متداول بررسی و مشاهده کاتالالهای جریان پیل سوختی غشا پلیمری می‌باشد، در حالی که تعداد بسیار محدودی بررسی اپتیکی، توانایی به دست آوردن اطلاعات کمی مربوط به میزان تجمع آب مایع و جریان دو فاز موجود در کاتالالهای جریان را داشته‌اند [۲].

در این پژوهش، بررسی اپتیکال یک پیل سوختی غشا پلیمری شفاف با استفاده از یک دوربین سرعت بالا^۷ جهت بررسی جریان دو فاز کاتالال جریان کاتد و به دست آوردن اطلاعات کمی مورد نیاز، انجام شده است. آب مایع موجود در کاتالال با تکنیک‌های پردازش تصاویر دیجیتال^۸ شناسایی شده‌اند که با استفاده از این روش‌ها دقت شناسایی آب مایع موجود در کاتالال افزایش می‌یابد. در پژوهش حاضر میزان محتوای آب کاتالال کاتد در طول زمان و همچنین در حالت میانگین زمانی محاسبه شده است. برای این منظور، پارامتر "نسبت طول آب پوشانی" معرفی می‌شود که عبارت است از نسبت طولی از قسمت‌های کاتالال که دارای جریان دوفاز می‌باشد به طول کل کاتالال. این پارامتر بیانگر میزان آب تجمع یافته در کاتالال کاتد در طول زمان می‌باشد و سپس با محاسبه میانگین مقادیر نسبت طول آب پوشانی در طول زمان، میانگین نسبت طول آب پوشانی محاسبه می‌شود. نتایج به دست آمده در این پژوهش در زمینه‌های زیر سودمند خواهد بود:

- ۱- بررسی دقیق تر آب مایع در کاتالالهای پیل سوختی غشا پلیمری
- ۲- پیش‌بینی بهتر رفتار جریان دو فاز در کاتالالهای جریان در حالت ناپایا
- ۳- تأثیر پارامترهای ورودی بر روی جریان دو فاز
- ۴- اعتبارسنجی مدل‌های عددی پیل سوختی غشا پلیمری

۲- مورودی بر پژوهش‌های پیشین

توپرو همکارانش [۶] اولین گروهی بودند که روش بررسی اپتیکی مستقیم را جهت مشاهده انباشت آب مایع در کاتالال کاتد پیل سوختی غشا پلیمری شفاف در دماهای پایین به کار برندند. آن‌ها نتیجه گرفتند که در حالت دما پایین و شرایط شروع به کار با دمای اولیه کم، لایه‌های نفوذ گاز آب دوست برای پیل سوختی نسبت به لایه‌های نفوذ گاز آب گریز مفیدتر می‌باشند.

سوگیورا و همکارانش [۷] با استفاده از لایه جذب آب و یک سری کاتالال مجزا کاتالالهای گاز، انباشت آب مایع در کاتالالهای موazی و تک مارپیچ را بررسی کردند. آن‌ها به این نتیجه رسیدند که در کاتالالهای موazی اگر یک کاتالال با آب مایع مسدود شود، این انسداد به سختی برطرف می‌شود. با اضافه کردن لایه جذب آب^۹، میزان طغیان 4% پر از کاهش یافت.

زانگ و همکارانش [۸] با بررسی یک پیل غشا پلیمری شفاف به این نتیجه رسیدند که در صورتی که ابعاد کاتالال کوچک‌تر از قطر جدایش قطره باشد، این امر منجر به تماس قطره با دیواره کاتالال قبل از اینکه از سطح لایه نفوذ گاز جدا شود می‌گردد و همین موضوع باعث افزایش انباشتگی آب مایع در کاتالالهای جریان می‌گردد.

آی سو و همکارانش [۹] چهار نوع کاتالال جریان متفاوت تک مارپیچ، موazی، انتهای بسته و مارپیچ-انتهای بسته را مورد بررسی قرار دادند. آن‌ها به این نتیجه رسیدند که پدیده طغیان در بالادرست جریان کاتالالهای مارپیچ-انتهای بسته رخ نمی‌دهد. پدیده طغیان معمولاً در گوشدها رخ می‌دهد. کاتالالهای

می‌آید. با اینکه وجود آب در پیل‌های سوختی غشا پلیمری جهت تأمین رطوبت مورد نیاز غشا ضروری می‌باشد، انباشت بیش از اندازه آب مایع درون پیل سوختی باعث کاهش قابل ملاحظه انتقال جرم، عملکرد و دوام پیل-سوختی می‌گردد که این پدیده طغیان^۱ نام دارد [۱].

عامل تولید آب مایع و جریان دو فاز در پیل‌های سوختی غشا پلیمری، یک فرآیند الکتروشیمیایی می‌باشد. در ابتدا هیدروژن و اکسیژن (هو) از طریق کاتالالهای جریان به ترتیب وارد قسمت‌های آند و کاتد پیل سوختی می-گردد. سپس گازها از طریق محیط متخلخل لایه نفوذ گاز وارد مکان‌های واکنش در لایه کاتالیست می‌گردد. در الکترود آند، هیدروژن جهت تولید یون H^+ و انتقال از طریق غشا، اکسایش می‌یابد. یون H^+ از طریق غشا به سمت کاتد منتقل می‌شود و جریان الکترون‌ها، جهت تولید الکتریسیته، از طریق یک مدار خارجی به سمت الکترود کاتد منتقل می‌گردد. الکترون‌ها در سطح لایه کاتالیست سمت کاتد با یون H^+ و اکسیژن ترکیب می‌شوند و آب تولید می‌گردد.

واکنش‌هایی که در پیل سوختی غشا پلیمری رخ می‌دهد عبارت است از:



در حالت طغیان مربوط به کاتالالهای جریان، آب مایع انباشت شد هدر کاتالال-های جریان به شکل جریان قطرات بزرگ^۲، حلقوی^۳، توده‌ای^۴ و یا مانع^۵ تجمع می‌یابد. در این صورت، این آب مایع می‌تواند باعث انسداد کاتالالهای جریان یا مانع از عبور واکنش دهنده‌ها و نفوذ آن‌ها در لایه نفوذ گاز و لایه کاتالیست گردد. این امر باعث کاهش مساحت سطح فعل الکتروشیمیایی بیل سوختی غشا پلیمری و در نتیجه محدود شدن واکنش‌های شیمیایی و در نهایت کاهش قابل ملاحظه کارایی و توان پیل سوختی غشا پلیمری می‌گردد. پدیده طغیان معمولاً در دمایا و نرخ‌های جریان پایین رخ می‌دهد که گازها توان خروج آب مایع را نداشته باشند [۲].

اخيراً موضوع مدیریت آب در مقالات به عنوان یک موضوع کلیدی تحقیقاتی در پیشرفت و تکامل پیل‌های سوختی غشا پلیمری در زمینه کاربردهای خودرویی، حمل و نقل و قابل حمل ظاهر شده است. وجود آب در پیل سوختی غشا پلیمری جهت مرطوب بودن و رسانایی یونی غشا ضروری می‌باشد؛ ولی انباشت آب مایع در پیل، منجر به پدیده طغیان در پیل می‌گردد که این پدیده کاهش کارایی و دوام پیل را در پی دارد [۱-۵]. انواع اصلی طغیان در پیل سوختی غشا پلیمری که شناسایی شده است عبارت است از:

- ۱- طغیان در لایه‌های کاتالیست و نفوذ گاز^۶- طغیان در کاتالالهای جریان.
- جمع شدن آب مایع داخل لایه‌های کاتالیست و نفوذ گاز باعث مسدود شدن منافذ و کاهش سطح فعل واکنش می‌گردد. در طغیان کاتالالهای جریان، جریان دو فاز درون کاتالالها می‌تواند مانع جریان واکنش دهنده‌ها و پخش مناسب آن‌ها درون لایه نفوذ گاز و محدود کردن کارآیی پیل به دلیل افت‌های انتقال جرم و کاهش سطح فعل الکتروشیمیایی گردد [۴].

دستیابی به میزان آب مایع انباشت شده در کاتالالهای جریان و رژیم جریان آب مایع، جهت بررسی دقیق افت توان ناشی از تجمع آب مایع در کاتالالهای جریان، پیشرفت مدیریت آب و روش‌های تخلیه آب مایع

6- Optical Visualization

7- High speed camera

8- Digital Image Processing (DIP)

9- WAL (Water Absorption Layer)

روشنده و همکاران^[۱]، با شبیه‌سازی عددی مدیریت آب در پیل سوختی غشا پلیمری به این نتیجه رسیدند که رسانایی یونی غشا و تخلخل مؤثر لایه نفوذ گاز بیشترین تأثیر را از میزان رطوبت پیل سوختی می‌پذیرند. رشیدی بنام و همکاران^[۲]، عملکرد لایه کاتالیست یک پیل سوختی پلیمری تحت شرایط طغیان را توسط مدل‌سازی ریاضی بررسی کردند. نتایج نشان داد که چگالی جریان در عمق لایه کاتالیست از غشا به سمت لایه نفوذ گاز، بدليل پدیده طغیان کاهش می‌یابد.

۳- انواع روش‌های بررسی مدیریت آب

جهت بررسی بهتر طغیان در کانال‌ها و اثر آن بر روی عملکرد پیل سوختی، انواع مختلفی از روش‌های بررسی، شناسایی و تشخیص آب مایع در پیل سوختی استفاده می‌شود که عبارت‌اند از: ۱- مقاومت فرکانس بالا^[۲۲]، ۲- افت فشار^[۱۵] و ۳- بررسی تصویری.

در بین این تکنیک‌ها، بررسی تصویری دارای مزیت بررسی همزمان مکانی و زمانی پخش آب مایع در کانال‌های جریان کاتد، آند و لایه نفوذ گاز و همچنین بررسی دینامیک انتقال آب و ساختار جریان دو فاز می‌باشد. پنج روش از مشهورترین روش‌های آزمایشگاهی بررسی تصویری عبارت‌اند از: اشعه ایکس^[۳]، رزونانس مغناطیسی^[۴] [۲۷-۲۴]، پرتونگاری نوترونی^[۵] [۴،۵،۲۳]، کروماتوگرافی گاز^[۶] [۳۰،۳۱] و بررسی اپتیکی مستقیم^[۷،۱۶] [۲۸،۲۹].

در روش اشعه ایکس، یک پرتو اشعه ایکس به پیل تابانده می‌شود و با توجه به انحراف این پرتو در نتیجه برخورد با آب، میزان آب تولیدی به صورت یک نقشه سه‌بعدی بدست می‌آید. این روش هم دارای تفکیک‌پذیری مکانی مناسب و هم تفکیک‌پذیری زمانی مناسب می‌باشد؛ اما ضعف این روش در آن است که نمی‌تواند همزمان تفکیک‌پذیری مکانی و زمانی مطلوب را جهت بررسی آب تولیدی در پیل سوختی فراهم کند^[۳۲].

در روش رزونانس مغناطیسی، یک هسته اتم^۱ توسط میدان مغناطیسی با فرکانس خاصی بر انگیخته می‌شود و پس از عبور از پیل سوختی با بررسی فرکانس جدید این هسته، میزان آب موجود در پیل سوختی محاسبه می‌شود. این روش دقت بسیار دارد؛ ولی دارای تفکیک‌پذیری بسیار پایینی می‌باشد و همچنین با مواد کربنی ناسازگار می‌باشد^[۳۳].

پرتونگاری نوترونی یک تکنیک غیر نفوذی مورد استفاده برای بررسی تصویری و کمی وجود آب مایع در کانال‌های جریان، لایه نفوذ گاز، غشا سرهم شده با الکترود و ناحیه زیرسطحی می‌باشد^[۳۴]. در روش پرتونگاری نوترونی، اشعه تولید شده از یک منبع نوترونی خارج می‌شود و از یک پیل-سوختی در حال کارکرد عبور می‌کند و افت قدرت اشعه، ضخامت آب را نشان می‌دهد (به صورت دوبعدی). خاصیت دوبعدی پرتونگاری نوترونی تشخیص آب موجود در کاتد و آب موجود در آند را از یکدیگر سخت می‌کند، زیرا تشخیص اینکه آب در کدام لایه (کانال‌های آند، کانال‌های کاتد یا غشا سرهم شده با الکترود) قرار دارد، سخت می‌باشد. همچنین کاربرد این روش بدليل تفکیک‌پذیری مکانی و زمانی (به ترتیب حدوداً ۲۵ میکرومتر و ۵/۴ ثانیه^[۳۵]) محدود می‌باشد که همین امر، این روش را در بررسی دینامیک انتقال آب ناتوان می‌سازد. پرتونگاری نوترونی محدودیت‌های زیادی در بررسی تصویری قطرات آب کوچک که با سرعت در حال حرکت می‌باشند، دارد و به

مارپیچ‌انتها بسته از لحاظ خروج آب مایع در مساحت‌های کوچک بهتر می‌باشند؛ ولی در مساحت‌های بزرگ، کانال‌های مارپیچ کارایی بهتری دارد. جی و وانگ^[۱۰] اولین افرادی بودند که یک پیل سوختی غشا پلیمری شفاف را جهت بررسی تولید آب مایع و پدیده طغیان در سمت آند مورد بررسی قراردادند. آن‌ها به این نتیجه رسیدند که با استفاده از یک لایه نفوذ گاز آب دوست می‌توان پدیده طغیان را کمتر کرد.

لیو و همکارانش^[۱۱] رابطه بین طغیان آب مایع و افت فشار را در یک پیل سوختی غشا پلیمری به وسیله بررسی دما، چگالی جریان و زمان عملکرد روی افت فشار کل سمت کاتد و آند، بررسی کردند. نتایج آن‌ها نشان داد که وجود آب مایع بهدلیل محدودیت در انتقال جرم باعث کاهش عملکرد پیل می‌شود. در حالت کلی، افت فشار جریان کاتد نسبت به آند بیشتر است. در سال ۲۰۰۸، همین گروه اثرات دمای پیل سوختی و نرخ جریان کاتد و زمان عملکرد روی جریان دو فاز جریان و مایع در پیل سوختی را بررسی کردند^[۱۲]. آن‌ها مشاهده کردند که افزایش دمای پیل باعث کاهش تقطیر و افزایش سرعت واکنش الکتروشیمیایی می‌گردد که همین امر موجب عملکرد بهتر پیل سوختی می‌گردد. در صورتی که افزایش سیار زیاد دما می‌تواند اثر منفی روی غشا و خشک شدن آن و کاهش عملکرد پیل داشته باشد.

اووس و آرکومانیس^[۱۳] یک پیل سوختی شفاف با کانال مارپیچ را بررسی کردند. آن‌ها به این نتیجه رسیدند که ضربی استوکیومتری سمت کاتد و آند نقش مشابه در میزان آب مایع انباسته شده دارد؛ ولی ضربی استوکیومتری سمت آند، بر عکس سمت کاتد، نقش کمی در خروج آب مایع دارد. اسپرنجک و همکارانش^[۱۴] یک روش جدید برای بررسی پدیده طغیان در پیل سوختی ابداع کردند که نتیجه ترکیب دو روش پرتونگاری نوترونی و تصویربرداری مستقیم بود.

حسینی و وانگ^[۱۵] پدیده طغیان را در سمت کاتد یک پیل سوختی پلیمری شفاف مورد بررسی اپتیکی قراردادند. آن‌ها در آزمایش‌های خود به این نتیجه رسیدند که پدیده طغیان بیشتر در محل‌های خروج آب مایع رخ می‌دهد.

سرجی و همکارانش^[۱۶] کانال‌های جریان سمت کاتد و آند یک پیل سوختی پلیمری شفاف با کانال موازی را مورد بررسی اپتیکی هم زمان قرار دادند. در اکثر شرایط کارکرد، آب مایع انباسته شده در سمت آند از کاتد بیشتر می‌باشد.

روزلی و همکارانش^[۱۷] با بررسی یک پیل سوختی غشا پلیمری تک مارپیچ شفاف به این نتیجه رسیدند که کانال تک مارپیچ، آب مایع انباسته-شده را به راحتی خارج می‌کند و رطوبت زنی سمت کاتد مشخصاً بسیار مهم-تر از سمت آند می‌باشد، زیرا در حالت آند خشک، هیچ آب مایعی در سمت آند قابل رویت نمی‌باشد و غشا خشک شده و توان پیل بهدلیل افزایش مقاومت یونی، کاهش می‌یابد.

ژان و همکارانش^[۱۸] با بررسی یک پیل سوختی پلیمری تک مارپیچ شفاف به این نتیجه رسیدند که آب مایع انباسته شده در کانال‌ها می‌باشد. کانال‌ها (تیغه‌ها)، بسیار بیشتر از آب مایع انباسته شده در کانال‌ها می‌باشد.

افشاری و جزایری^[۱۹]، با رائمه الگوی عددی دوبعدی و دو فاز، یک پیل سوختی غشا پلیمری برای کاربرد در خودرو را مورد بررسی قراردادند. آن‌ها به این نتیجه رسیدند که با افزایش چگالی جریان، عملکرد پیل به دلیل طغیان در لایه نفوذ گاز کاتد، تأم با افزایش رطوبت کاهش می‌یابد و در چگالی جریان‌های بالا، پیل ضعیفترین عملکرد را در نرخ جریان پایین دارا می‌باشد که این امر ناشی از محدودیت انتقال جرم و طغیان کاتد می‌باشد.

1- High Frequency Resistance (HFR)

2- X-Ray

3- MRI(Magnetic Resonance Imaging) or NMR(Nuclear Magnetic Resonance)

4- Neutron Radiography

5- Gas Chromatography

6- Nuclei

در حال عملکرد آمده است. گاز ورودی سمت کاتد اکسیژن و سمت آند هیدروژن می‌باشد.

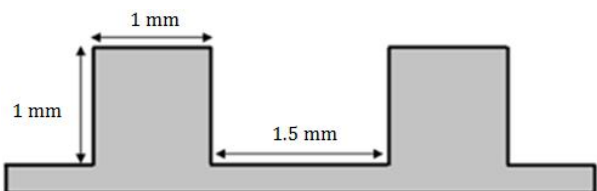
سل شامل کانال‌های جریان کاتد و آند می‌باشد که در بین این دو بخش، سل ۷ لایه‌های نفوذ گاز^۳، لایه‌های کاتالیست^۴، لایه‌های نازک تخلخلی^۵ تخلخلی^۶ و غشا^۷) به صورت فشرده قرار دارند. جریان توسط یک توری نیکلی نیکلی به ضخامت ۵۰ میکرومتر از روی سطح لایه کاتالیست جمع‌آوری شده و سپس به یک بلوك مسی آب طلاکاری شده منتقل و در نهایت توسط سیم‌های مسی از بلوك به سمت مدار خارجی منتقل می‌شود.

کanal به صورت تک ماربیچ و شامل ۲۱ ردیف افقی و ۲۰ زانوبی می‌باشد. غشا پلیمری از جنس نفیون^۸ می‌باشد. غشا سرهم شده با الکترود^۹ شامل لایه‌های نفوذ گاز کاتد و آند و غشا پلیمری پوشیده شده با کاتالیست می‌باشد. ضخامت لایه نفوذ گاز ۲۶۰ میکرومتر می‌باشد. چگالی پلاتین در سمت آند ۴/۴ mg/cm² و در سمت کاتد ۰/۶ mg/cm² می‌باشد. جهت آب-بندی و جلوگیری از نشتی گازهای واکنش دهنده در هر سمت کاتد و آند از یک حلقه پلاستیکی^{۱۰} استفاده شده است. تعداد هشت عدد پیچ آلن به قطر ۶ میلی‌متر بستن پیل استفاده شده است. گشتاور موجود روی هر پیچ ۱ (نیوتون متر) می‌باشد. خصوصیات کلی پیل با توجه به دفترچه راهنمای شرکت سازنده غشا سرهم شده با الکترود آمده است.

سیستم تصویربرداری شامل یک دوربین سرعت بالای کاسیو می‌باشد. این دوربین دارای تفکیک‌پذیری ۱۰۰×۱۰۰ مگا پیکسل^{۱۱} و نرخ فریم ۶۰ تا ۱۲۰۰ فریم بر ثانیه می‌باشد.



شکل ۱-الف کanal جریان سمت کاتد و محل ورودی و خروجی جریان اکسیژن



شکل ۱-ب ابعاد کانال‌های جریان

- 4- Gas Diffusion Layer (GDL)
- 5- Catalyst Layer (CL)
- 6- Micro Prous Layer (MPL)
- 7- CCM(Catalyst Coated Membrane)
- 8- Nafion
- 9- MEA(Membrane Electrode Assembly)
- 10- O-ring
- 11- Full HD

علاوه خطاهای کالیبراسیون منجر به بررسی با دقیق کمتر در پیل‌های در حال کارکرد می‌گردد[۱۴]. همچنین استفاده از این روش بهدلیل هزینه بالا و وسائل آزمایشگاهی کمیاب سخت می‌باشد[۳۳].

کرماتوگرافی گاز دارای اطلاعات مفیدی در زمینه پخش گونه‌ها در کاتد و آند و همچنین انتقال آب در غشا می‌باشد؛ ولی این روش در حالاتی کاربرد دارد که آب تولیدی زیاد باشد[۳۱-۳۰].

بررسی اپتیکی به عنوان یک روش جایگزین برای دیگر روش‌ها می‌باشد که هم هزینه کمتری دارد و هم تفکیک‌پذیری همزمان مکانی و زمانی بالای دارد و به همین دلیل، ما را قادر به تصویربرداری بسیار دقیق از دینامیک جریان دو فاز موجود در کانال‌های جریان می‌سازد. این اطلاعات و توانایی‌ها می‌تواند باعث بهبود و تقویت طراحی پیل سوختی شود و همچنین در انتخاب مواد مورد استفاده در ساخت پیل سوختی، مورد استفاده قرار گیرد. این روش امکان بررسی مستقیم عملکرد پیل سوختی، با توجه به میزان انباشتگی و خروج آب برای دستیابی به حالت بهینه مدیریت آب و کارکرد پیل را میسر می‌سازد. در نتیجه، بررسی اپتیکی مستقیم یک گزینه ایده‌آل برای بررسی جریان دو فاز درون کانال‌های گاز و سطح لایه نفوذ گاز می‌باشد.

بهدلیل مزیتهای بیان شده و همچنین هزینه پیشنهادی تر روش تصویربرداری اپتیکال مستقیم نسبت به دیگر روش‌ها، در این پژوهش از این روش برای بررسی مدیریت آب در پیل‌های سوختی غشا پلیمری استفاده می‌شود.

۴- خصوصیات پیل سوختی و دستگاه‌های آزمایشگاهی

در این پژوهش، یک پیل سوختی شفاف با امکان دستیابی اپتیکی به کanal جریان سمت کاتد، جهت بررسی تصاویر کanal این سمت، تهیه شده است. سطح فعال پیل سوختی ۵×۵ cm² می‌باشد که در کاربردهای قابل حمل مورد استفاده قرار می‌گیرد. همچنین یک سیستم دوربین سرعت بالای کاسیو مدل ای ایکس-اف۱، جهت تصویربرداری و مشاهده جریان دو فاز در سمت کاتد کanal پیل سوختی در هنگام عملکرد تعییه شده است. این مجموعه آزمایشگاهی اطلاعات مربوط به شناسایی و مقدار سنجی کمی آب مایع و پخش جریان دو فاز آب مایع را در دسترس ما قرار می‌دهد. این پژوهش جهت بررسی تأثیر نسبت استوکیومتری، رطوبت نسبی و دمای گازهای ورودی کاتد و آند بر مدیریت آب پیل سوختی غشا پلیمری انجام شده است. آزمایش‌ها توسط یک دستگاه تست پتانسیوستات و گالوانوستات و یک واحد مدیریت جریان گاز^۱ انجام می‌شود. در آزمایش‌ها پیل به صورت ایستاده و کانال‌های جریان به صورت افقی می‌باشند. جریان در سمت کاتد و آند به صورت غیرهمسو می‌باشد که خروجی جریان در سمت کاتد در بالا قرار دارد. ضوابط اتمام آزمایش، پایداری آن و یا جلوگیری از کارکرد پیل در محدوده آسیب‌پذیری آن می‌باشد. تمامی آزمایش‌ها براساس استاندارد جی آر سی^۲ اروپا تدوین شده است.

کanal جریان بر روی صفحات انتهایی و از جنس شفاف (پلکسی گلاس)^۳ می‌باشد که امکان دستیابی اپتیکی به کanal جریان را فراهم می‌کند. عرض و ارتفاع کanal به ترتیب ۱/۵ و ۱ میلی‌متر می‌باشد و طول هر ردیف کanal ۴۸ میلی‌متر می‌باشد که در فاصله ۱ میلی‌متر از یکدیگر قرار دارند. ابعاد کanal‌های کاتد و آند برابر یکدیگر است. در شکل ۱-الف، تصویر کanal جریان کاتد و در شکل ۱-ب ابعاد کanal آورده شده است. در شکل ۲-الف تصویر شماتیک مجموعه آزمایشگاهی آورده شده است. در شکل ۲-ب، تصویر پیل

- 1- Gas handling unit
- 2- JRC
- 3- Plexi Glass

به دلیل شفافیت و انعکاس نور صفحات پلکسی و همچنین شفافیت آب تولیدی، تفکیک آب تولیدی از سطح لایه نفوذ گاز، صفحات پلکسی امری دشوار می‌باشد. در صورت عدم تابش یکنواخت نور سفید روی سطح پلکسی، در نمودار تمرکز پیکسل تصاویر، دارای پرش و نقاط نوک تیز می‌باشد که تفکیک‌پذیری تصاویر را دشوار می‌سازد. از این رو جهت تابش نور، فاصله منبع نور تا سطح پلکسی و زاویه تابش نور اهمیت فراوانی دارد. شکست و انكسار نور عموری از دیوار کanal بر روی تصویربرداری تأثیر نسبتاً زیادی دارد. جهت کاهش اثر شکست و همچنین بازتاب نور از سطح پلکسی گلاس، چندین حالت قرار گیری دوربین و سیستم نورپردازی آزمایش شد و سپس حالت بهینه سیستم نورپردازی و تصویربرداری که بازتاب نور حداقل باشد مشخص گردید.

۵- بحث و نتایج

تمامی آزمایش‌ها در چگالی جریان $3 \cdot 10^{-3}$ آمپر بر سانتی‌مترمربع) صورت پذیرفته است. به دلیل استفاده از توری جمع‌کننده جریان بسیار نازک نیکلی که موجب مقاومت الکتریکی زیادتری نسبت به استفاده از صفحات فلزی جمع‌کننده جریان می‌شود و با توجه به محدوده‌ی پایین دمای کارکرد پبل به دلیل استفاده از صفحات پلکسی گلاس و همچنین نوع پبل مورد استفاده، در نمودار قطبش پبل (شکل ۳) بیشینه توان در نزدیکی چگالی جریان $3 \cdot 10^{-3}$ آمپر بر سانتی‌مترمربع) رخ می‌دهد که به همین دلیل از این چگالی جریان برای انجام آزمایش‌ها استفاده شد. با توجه به ثابت بودن چگالی جریان در رابطه (۲)، نرخ آب تولیدی ناشی از واکنش الکتروشیمیایی سمت کاند در تمام آزمایش‌ها ثابت می‌باشد، بنابراین در این آزمایش‌ها می‌توان نقش پلارترهای جریان ورودی پبل سوختی غشا پلیمری را بر انباسته شدن آب در کanal جریان کاند با یکدیگر مقایسه نمود. میزان آب تولیدی ناشی از واکنش الکتروشیمیایی (بر حسب $g_{H_2O/S} = 5$) با استفاده از قانون فارادی دوم فارادی در رابطه (۲) آمده است [۳۴].

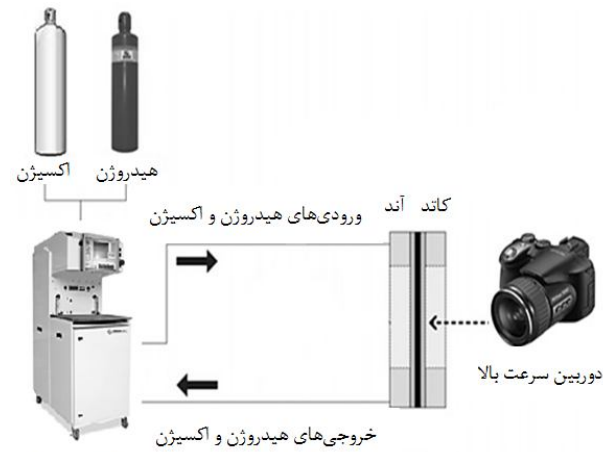
$$\dot{m}_{gen} = \frac{iA}{2F} MW_{H_2O} \quad (2)$$

در رابطه (۲)، i چگالی جریان، A سطح فعال، F ثابت فارادی و MW_{H_2O} وزن مولکولی آب می‌باشد.

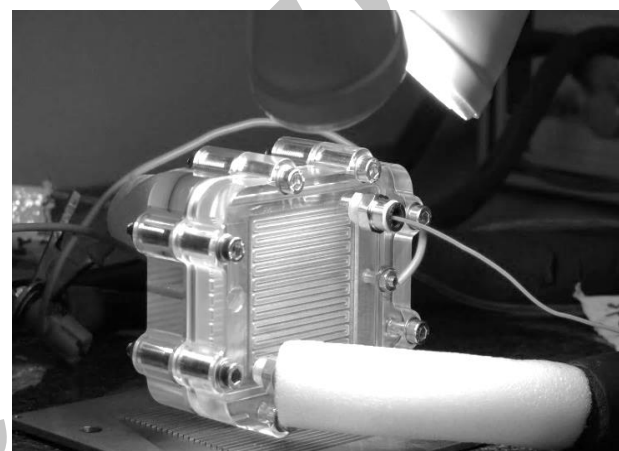
در این پژوهش پارامتر "نسبت طول آبپوشانی" معرفی می‌شود که عبارت است از نسبت طولی از قسمت‌های کanal که دارای جریان دو فاز می‌باشد به طول کل کanal کاند. این پارامتر بیانگر میزان آب تجمع یافته در کanal کاند در طول زمان (حالت ناپایا) می‌باشد. سپس با میانگین گیری از نسبت طول آبپوشانی در طول زمان، میانگین نسبت طول آبپوشانی محاسبه می‌شود.

آب مایع موجود در کanal با استفاده از پردازش تصویر دیجیتال شناسایی می‌شود. در ابتدا با استفاده از تکنیک‌های تفریق و آستانه سازی، تصاویر کanal بدون جریان دو فاز و تصاویر آزمایش پردازش می‌شوند. برای بهبود کیفیت تصویر پردازش شده اولیه و شناسایی قطرات آب، از پردازش ساختارشناسی^۳ استفاده می‌شود. به صورت کلی ۳ ناحیه در تصویرهای پردازش شده موجود می‌باشد: ۱- ناحیه‌ای که هیچ آب مایعی در آن قابل مشاهده نمی‌باشد؛ ۲- ناحیه‌ای که بیانگر آب مایع موجود در کanal‌های پبل سوختی می‌باشد؛ ۳- ناحیه‌ای که مربوط به قطرات بسیار ریز ناشی از رطوبت نقطه‌ریشه می‌باشد. این نواحی در شکل ۴-الف نشان داده شده‌اند. در شکل ۴-الف، محدوده‌های نواحی بدون آب مایع با مستطیل خط‌چین شده، نواحی پوشیده از قطرات بسیار ریز

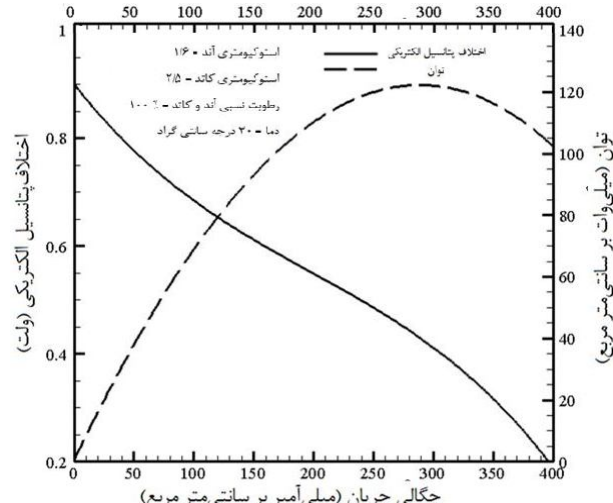
3- Morphological



شکل ۲-الف تصویر شماتیک مجموعه آزمایشگاهی



شکل ۲-ب تصویر پبل در حال عملکرد



شکل ۳ نمودار قطبش و توان پبل سوختی

این دوربین قابلیت تصویربرداری مداوم و با سرعت و کیفیت بالا را دارد می‌باشد که در این پژوهش از حداکثر کیفیت عکس‌برداری در تصاویر خام^۱ و حداکثر کیفیت فیلم‌برداری در حالت فیلم‌برداری با پسوند موج^۲ استفاده شده است.

سیستم نور پردازی یکی از اساسی‌ترین قسمت‌های این آزمایش می‌باشد.

1- RAW
2- Mov

۱-۵ آزمایش‌های استوکیومتری

۱-۱-۱ آزمایش‌های استوکیومتری کاتد ثابت

در این آزمایش‌ها مقدار استوکیومتری کاتد در هر سه آزمایش متواالی، یکی از مقدارهای ثابت $1/6$ یا $2/5$ یا $3/4$ می‌باشد و استوکیومتری آند تغییر می‌کند. با بررسی شکل‌های ۵-الف، ۵-ب و ۵-ج مشاهده می‌شود که در تمامی زمان‌ها (در حالت ناپایا)، با ثابت نگهداشت استوکیومتری کاتد و افزایش استوکیومتری آند، نسبت طول آب‌پوشانی کاهش می‌باشد. این امر این‌گونه توجیه می‌شود که با افزایش استوکیومتری آند، نرخ جریان گاز سمت آند افزایش می‌یابد و میزان آب بیشتری از کanal سمت آند از طریق جریان گاز خارج می‌شود. در نتیجه غلظت آب در سمت آند کاهش می‌یابد و مقادیر از آب کاتد با مکانیزم نفوذ معکوس^۱ از سمت آند کاتد به سمت آند انتقال می‌یابد و در نهایت آب انباسته شده در کanal کاتد کاهش می‌یابد. با مقایسه شکل‌های ۵-الف، ۵-ب و ۵-ج مشاهده می‌شود که با افزایش استوکیومتری کاتد که در هر کدام از این شکل‌ها ثابت می‌باشد، با افزایش استوکیومتری آند، اختلاف مقادیر نسبت طول آب‌پوشانی کاهش می‌یابد. با افزایش استوکیومتری کاتد، تأثیر افزایش استوکیومتری آند بر میانگین نسبت طول آب‌پوشانی کاهش می‌شود.

۱-۲ آزمایش‌های استوکیومتری آند ثابت

در این آزمایش‌ها مقدار استوکیومتری آند در هر سه آزمایش متواالی، یکی از مقدارهای ثابت $1/6$ یا $2/5$ یا $3/4$ می‌باشد و استوکیومتری کاتد تغییر می‌کند. با بررسی شکل‌های ۷-الف، ۷-ب و ۷-ج مشاهده می‌گردد که در تمامی زمان‌ها (در حالت ناپایا)، با ثابت نگهداشت استوکیومتری آند و افزایش استوکیومتری کاتد، نسبت طول آب‌پوشانی کاهش می‌یابد. این امر با توجه به افزایش نرخ جریان گاز کاتد در نتیجه افزایش استوکیومتری کاتد قابل توجه می‌باشد، زیرا با توجه به افزایش نرخ جریان گاز سمت کاتد، میزان آب بیشتری از طریق جریان گاز خارج می‌شود و آب کمتری در کanal کاتد انباسته می‌شود.

با مقایسه شکل‌های ۷-الف، ۷-ب و ۷-ج مشاهده می‌شود که با افزایش استوکیومتری آند که در هر کدام از این شکل‌ها ثابت می‌باشد، اختلاف مقادیر نسبت طول آب‌پوشانی کاهش می‌یابد. این اثر یکدیگر کمتر می‌شود و به عبارت دیگر با افزایش استوکیومتری آند، تأثیر افزایش استوکیومتری کاتد بر روی نسبت طول آب‌پوشانی کمتر می‌شود به‌طوری که در شکل ۷-ج، مشاهده می‌شود با اینکه نسبت استوکیومتری سمت کاتد افزایش می‌یابد، هر سه سری مقادیر نسبت طول آب‌پوشانی، اختلاف بسیار کمی دارند.

در شکل ۸، با ثابت نگهداشت استوکیومتری آند و افزایش استوکیومتری کاتد، میانگین نسبت طول آب‌پوشانی کاهش می‌یابد. با افزایش استوکیومتری آند، تأثیر افزایش استوکیومتری کاتد بر روی میانگین نسبت طول آب‌پوشانی کمتر می‌شود.

۱-۳ مقایسه نتایج آزمایش‌های استوکیومتری کاتد ثابت و آند ثابت

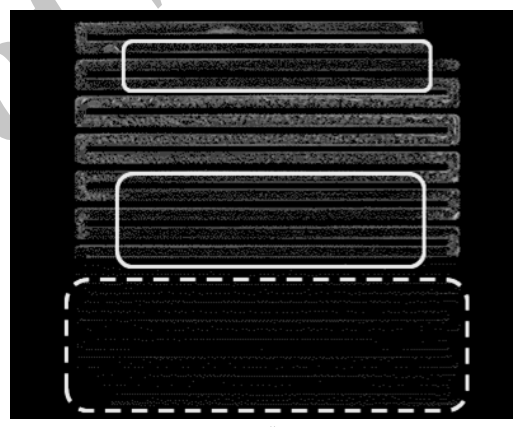
با مقایسه هر جفت از شکل‌های ۵ و ۷-۵-الف با ۷-الف، ۵-ب با ۷-ب و ۵-ج با ۷-ج مشخص می‌گردد که تغییرات استوکیومتری آند تأثیر بیشتری بر میزان نسبت طول آب‌پوشانی و در نتیجه میزان آب انباسته شده در کanal جریان کاتد، نسبت به تغییر استوکیومتری کاتد دارد و در نتیجه در حالت ناپایا، تأثیر استوکیومتری آند بر مدیریت آب کanal کاتد پیل سوختی غشا

(جریان مه‌گون) با مستطیل و نواحی آب مایع با رنگ سفید و بدون مستطیل محصور کننده مشخص شده‌اند. در شکل ۴-ب، یک تصویر از کanal کاتد و در شکل ۴-ج آب مایع موجود در آن با رنگ سفید، نمایش داده شده است.

در آزمایش‌های بررسی تأثیر استوکیومتری بر عملکرد پیل، با درنظر گرفتن سه مقدار استوکیومتری $1/6$ ، $2/5$ و $3/4$ ، تعداد نه آزمایش متفاوت طراحی شده است که در هر کدام از این آزمایش‌ها، جریان‌های سمت کاتد و آند یکی از این سه مقدار را دارند. این آزمایش‌ها در شرایط دمای گازهای ورودی ۳۰ درجه سانتی‌گراد، فشار ۱ اتمسفر و رطوبت نسبی ۱۰۰٪ برای گازهای ورودی سمت کاتد و آند انجام شده است.

در آزمایش‌های بررسی تأثیر رطوبت نسبی بر عملکرد پیل، با درنظر گرفتن سه مقدار رطوبت نسبی ۰٪، ۶۰٪ و ۱۰۰٪ برای کاتد و ۰٪ و ۱۰۰٪ برای آند، شش آزمایش طراحی شده است. این آزمایش‌ها در شرایط دمای گازهای ورودی ۳۵ درجه سانتی‌گراد، فشار ۱ اتمسفر و استوکیومتری کاتد و آند به ترتیب برابر $2/5$ و $1/6$ انجام شده است.

در آزمایش‌های بررسی تأثیر دمای گازهای ورودی بر عملکرد پیل، تعداد پنج آزمایش طراحی شده است که هر آزمایش دمای گازهای ورودی متفاوتی دارد. این آزمایش‌ها در شرایط فشار ۱ اتمسفر، استوکیومتری $2/5$ در کاتد و استوکیومتری $1/6$ در آند و رطوبت نسبی ۱۰۰٪ گازهای ورودی کاتد و آند انجام شده است.



(الف)



(ب)



(ج)

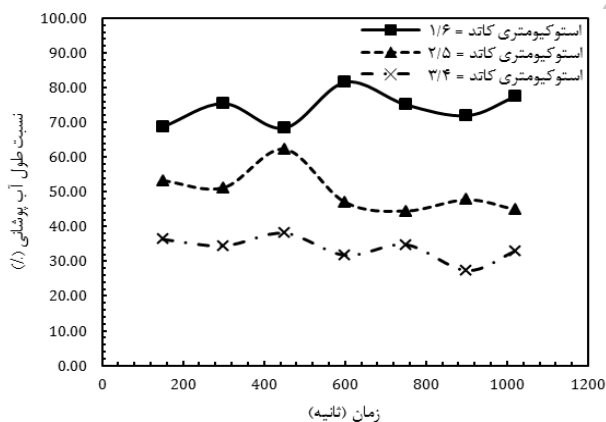
شکل ۴ (الف) نواحی مختلف شناسایی شده در تصاویر، (ب) تصویر کanal کاتد، (ج) آب مایع موجود در کanal کاتد

با مقایسه شکل‌های ۶ و ۸، مشاهده می‌شود در صورتی که استوکیومتری کاتد را ثابت بگیریم، با افزایش استوکیومتری آند (شکل ۶، میانگین نسبت طول آبپوشانی با شبیه‌بیشتری نسبت به حالتی که استوکیومتری آند را ثابت بگیریم و نسبت استوکیومتری سمت کاتد را افزایش دهیم (شکل ۸)، کاهش می‌یابد؛ بنابراین به این نتیجه می‌رسیم که تأثیر استوکیومتری آند بر مدیریت آب کاتال کاتال بیشتر از تأثیر استوکیومتری کاتد می‌یابد. با درنظر گرفتن پدیده الکترواسمزی که آب موجود در سمت آند را به کاتد انتقال می‌دهد و می‌تواند حجم آب انتقال شده توسط این پدیده چند برابر پدیده نفوذ معکوس باشد [۳۴]، این نتیجه قابل توجیه است افزایش استوکیومتری آند می‌تواند میزان آب موجود در سمت آند را که در صورت وجود می‌تواند از طریق مکانیزم الکترواسمزی به سمت کاتد برود را کاهش دهد؛ بنابراین میزان انباشتگی آب نه تنها به استوکیومتری کاتد بلکه به استوکیومتری آند نیز بستگی دارد. در استوکیومتری‌های بالای کاتد و آند، به ترتیب تأثیر استوکیومتری آند و استوکیومتری کاتد بر مدیریت آب کاتال کاتد پبل سوختی غشا پلیمری با کاتال تک مارپیچ در حالت میانگین زمانی، بیشتر از تأثیر استوکیومتری کاتد می‌یابد. با درنظر گرفتن پدیده الکترواسمزی که آب موجود در سمت آند را به کاتد انتقال می‌دهد و می‌تواند حجم آب انتقال شده توسط این پدیده چند برابر پدیده نفوذ معکوس باشد [۳۴]، این نتیجه قابل توجیه است افزایش استوکیومتری آند نیز بستگی دارد. در استوکیومتری‌های بالای کاتد و آند، به ترتیب تأثیر استوکیومتری آند و استوکیومتری کاتد بر مدیریت آب کاتال کاتد پبل سوختی غشا پلیمری با کاتال تک مارپیچ در حالت میانگین زمانی کاهش می‌یابد.

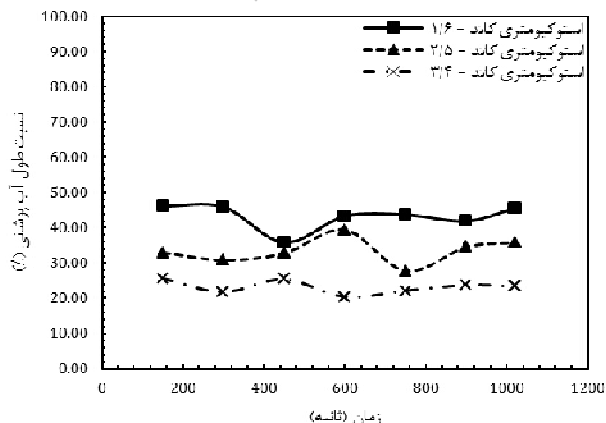
۲-۵ آزمایش‌های رطوبت نسبی

۲-۵-۱ آزمایش‌های رطوبت نسبی آند = ۰٪ (آند خشک)

شکل ۹ نشان می‌دهد که در تمامی زمان‌ها (در حالت ناپایا)، با ثابت نگهداشت رطوبت نسبی سمت آند برابر ۰٪ (آند خشک) و افزایش رطوبت نسبی سمت کاتد، میزان نسبت طول آبپوشانی افزایش می‌یابد.

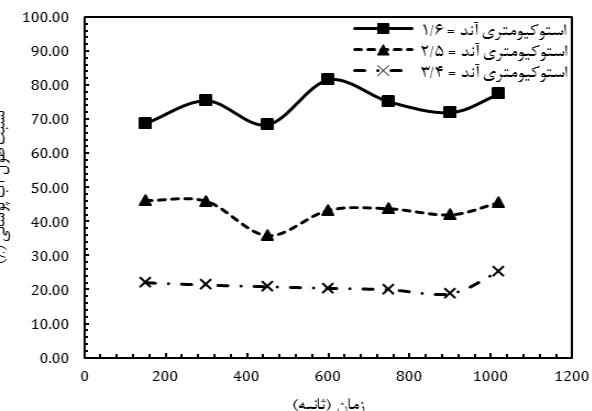


شکل ۷-الف نسبت طول آبپوشانی (استوکیومتری آند = ۱/۶)

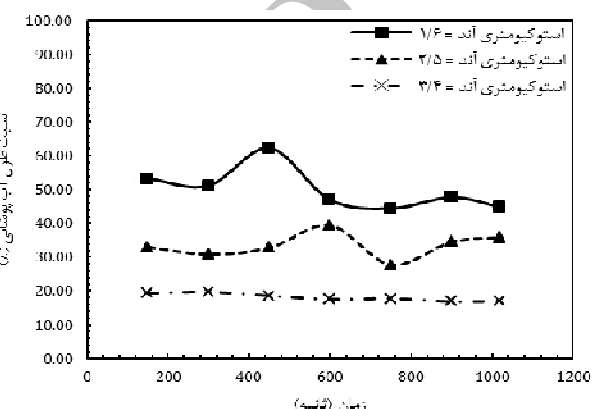


شکل ۷-ب نسبت طول آبپوشانی (استوکیومتری آند = ۲/۵)

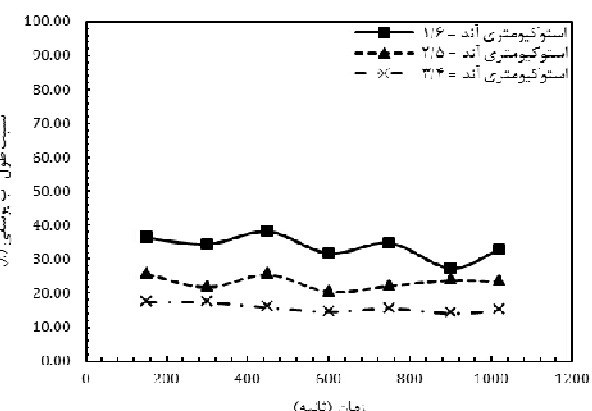
پلیمری تک مارپیچ بیشتر از تأثیر استوکیومتری کاتد می‌یابد.



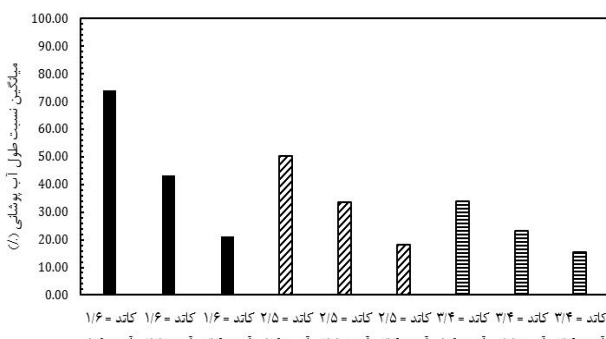
شکل ۵-الف نسبت طول آبپوشانی (استوکیومتری کاتد = ۱/۶)



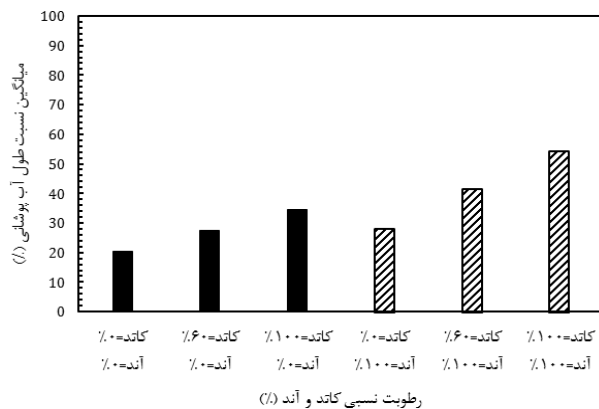
شکل ۵-ب نسبت طول آبپوشانی (استوکیومتری کاتد = ۲/۵)



شکل ۵-ج نسبت طول آبپوشانی (استوکیومتری کاتد = ۳/۴)



شکل ۶ میانگین نسبت طول آبپوشانی (براساس استوکیومتری کاتد)



شکل ۱۱ میانگین نسبت طول آب پوشانی (آزمایش‌های رطوبت نسبی)

با بررسی شکل ۱۱ به این نتیجه می‌رسیم که در حالت میانگین زمانی، با ثابت نگهداشتن رطوبت نسبی سمت آند برابر مقدار 0% (آند خشک) و افزایش رطوبت نسبی سمت کاتند، میانگین نسبت طول آب پوشانی افزایش می‌یابد.

۵-۲-۲-۵- آزمایش‌های رطوبت نسبی آند = 100% (آند کاملاً مرطوب)
در شکل ۱۰ مشاهده می‌شود که در تمامی زمان‌ها (در حالت ناپایا)، با ثابت نگهداشتن رطوبت نسبی سمت آند برابر 100% (آند کاملاً مرطوب) و افزایش رطوبت نسبی سمت کاتند، نسبت طول آب پوشانی افزایش می‌یابد.

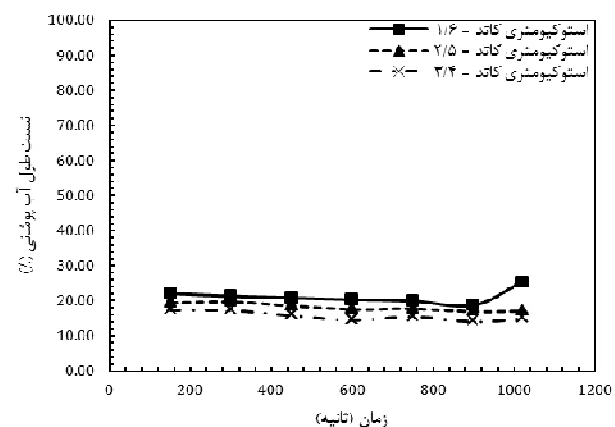
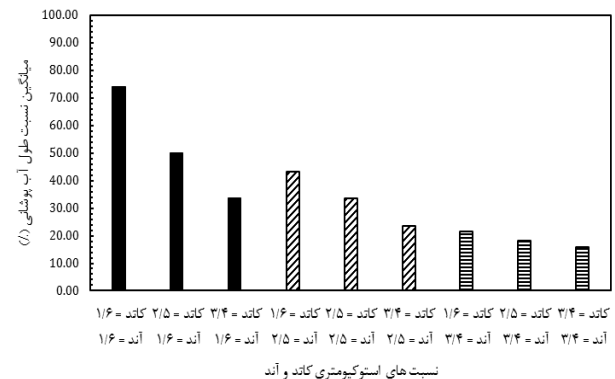
با بررسی شکل ۱۱ به این نتیجه می‌رسیم که در حالت میانگین زمانی، با ثابت نگهداشتن رطوبت نسبی سمت آند برابر 100% (آند کاملاً مرطوب) و افزایش رطوبت نسبی سمت کاتند، میانگین نسبت طول آب پوشانی افزایش می‌یابد.

۵-۳-۲-۵- مقایسه نتایج آزمایش‌های رطوبت نسبی آند = 0% و 100% (آند خشک و آند کاملاً مرطوب)

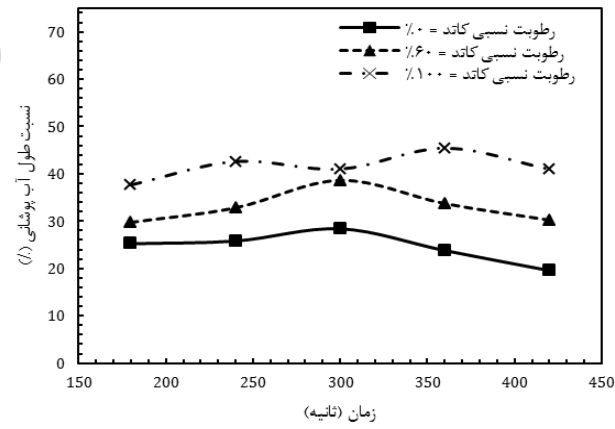
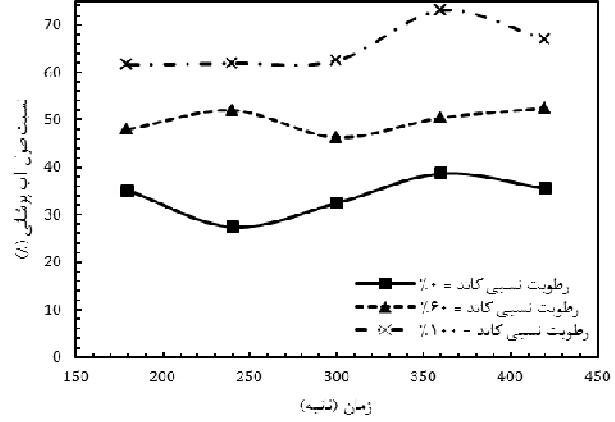
با مقایسه شکل‌های ۹ و ۱۰، مشاهده می‌شود که در حالت آند کاملاً مرطوب (رطوبت نسبی آند = 100% ، شکل ۱۰) مقادیر اختلاف بیشتری نسبت به حالت آند خشک (رطوبت نسبی آند = 0% ، شکل ۹) دارند. این تفاوت به این دلیل است که تأثیر افزایش رطوبت نسبی کاتند بر مدیریت آب کanal کاتند پیل سوختی غشا پلیمری تک مارپیچ در طول زمان (حالت ناپایا) در حالت آند کاملاً مرطوب (رطوبت نسبی آند = 100% ، شکل ۱۰) بیشتر از حالت آند خشک (رطوبت نسبی آند = 0% ، شکل ۹) می‌یابد.

با بررسی شکل ۱۱ مشاهده می‌شود که در حالت آند کاملاً مرطوب (رطوبت نسبی آند = 100%) مقادیر میانگین نسبت طول آب پوشانی اختلاف بیشتری نسبت به حالت آند خشک (رطوبت نسبی آند = 0%) دارند و این امر بدین صورت قابل تعبیر می‌باشد که تأثیر افزایش رطوبت نسبی کاتند بر مدیریت آب کanal کاتند پیل سوختی غشا پلیمری تک مارپیچ در حالت میانگین زمانی، در حالت آند کاملاً مرطوب (رطوبت نسبی آند = 100%) بیشتر از حالت آند خشک (رطوبت نسبی آند = 0%) می‌یابد.

با بررسی شکل ۱۱ مشاهده می‌شود که با ثابت نگهداشتن رطوبت نسبی سمت کاتند و افزایش رطوبت نسبی سمت آند از 0% (آند خشک) به 100% (آند کاملاً مرطوب)، میانگین نسبت طول آب پوشانی افزایش می‌یابد. این امر به دلیل کاهش نفوذ معکوس ناشی از افزایش رطوبت نسبی سمت آند از 0% (آند خشک) به 100% (آند کاملاً مرطوب) می‌باشد، زیرا در حالتی که رطوبت نسبی سمت آند از 0% (آند خشک) باشد، آند کاملاً خشک می‌باشد و تغییرات غلظت کاتند و آند زیاد می‌باشد و گرادیان غلظت از سمت کاتند به آند می‌باشد. بنابراین مقداری از آب مایع سمت کاتند توسط مکانیزم نفوذ معکوس به سمت آند منتقل می‌شود و

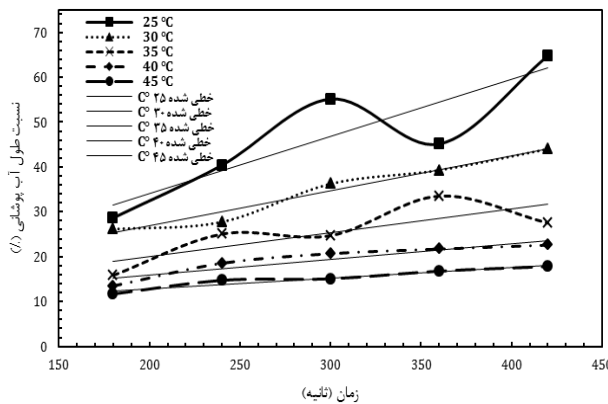
شکل ۷-ج نسبت طول آب پوشانی (استوکیومتری آند = $3/4$)

شکل ۸ میانگین نسبت طول آب پوشانی (براساس استوکیومتری آند)

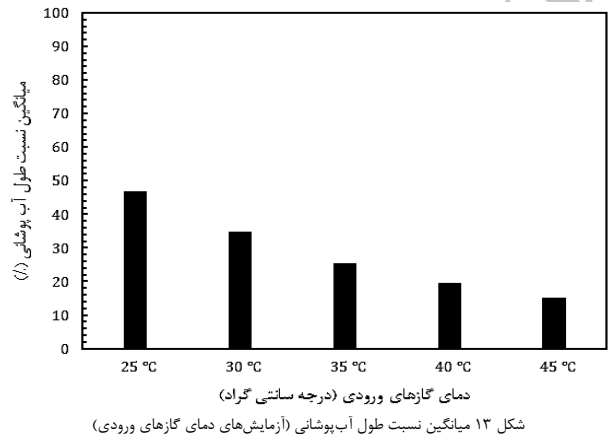
شکل ۹ نسبت طول آب پوشانی (رطوبت نسبی آند = 0%)شکل ۱۰ نسبت طول آب پوشانی (رطوبت نسبی آند = 100%)

است. همان‌طور که قابل مشاهده می‌باشد، مقادیر مربوط به سری اول و دوم دارای تفاوت کمی می‌باشند.

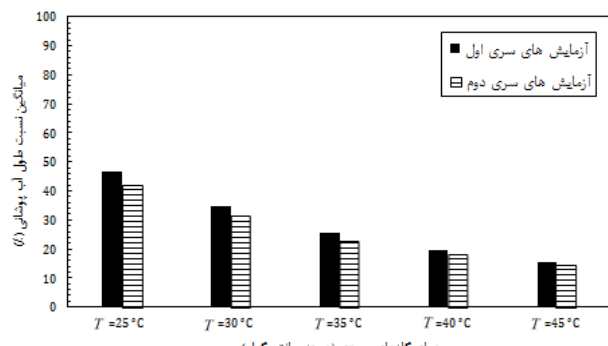
۵-۵- بررسی تأثیر محتوای آب و پدیده طغیان بر ولتاژ پیل
در شکل ۱۵، نمودار ولتاژ پیل در حالت ناپایا در شرایط استوکیومتری ۲/۵ در کاتد و استوکیومتری ۱/۶ در آند و رطوبت نسبی ۱۰۰٪ و دمای ۳۵ درجه سانتی‌گراد گازهای ورودی کاتد و آند انجام شده است. همان‌طور که قابل مشاهده می‌باشد، ولتاژ پیل نوسانات زیادی دارد که ناشی از طغیان گذرا در کاتال می‌باشد؛ به عبارت دیگر، با تشکیل یک توده مسدود کاتال، این توده آب شروع به حرکت می‌کند و در نتیجه مقداری از آب سر راه خود را با خود به سمت خروجی حمل کند. در طی این زمان کوتاه که پدیده طغیان رخ می‌دهد، ولتاژ پیل کاهش می‌یابد و پس از بر طرف شدن انسداد و خروج آب از کاتال، با نفوذ گازهای واکنش به مکان‌هایی از لایه نفوذ گاز که به واسطه طغیان مسدود شده بودند، ولتاژ پیل افزایش می‌یابد.



شکل ۱۲ نسبت طول آب پوشانی (آزمایش‌های دمای گازهای ورودی)



شکل ۱۳ میانگین نسبت طول آب پوشانی (آزمایش‌های دمای گازهای ورودی)



شکل ۱۴ بررسی تکرارپذیری نسبت طول آب پوشانی آزمایش‌های دمای گازها

در نتیجه میزان آب مایع انباشته شده در سمت کاتد بهصورت میانگین کاهش می‌یابد؛ ولی در حالتی که رطوبت نسبی سمت آند برابر ۱۰۰٪ (آند کاملاً مرتبط) باشد، آند کاملاً مرتبط می‌باشد و گردابیان غلطی در صورت وجود آند به کاتد می‌باشد، بنابراین مکانیزم نفوذ معموق موجود نمی‌باشد و مکانیزم درگ الکترواستیک مکانیزم غالب انتقال آب می‌باشد.

همچنین در شکل ۱۱ مشاهده می‌گردد که با ثابت نگهداشت رطوبت نسبی سمت کاتد و افزایش رطوبت نسبی آند از حالت ۰٪ (آند خشک) به ۱۰۰٪ (آند کاملاً مرتبط)، میانگین نسبت طول آب پوشانی افزایش می‌یابد و شبیه این افزایش میانگین نسبت طول آب پوشانی با افزایش رطوبت نسبی سمت کاتد (که در مقایسه هر جفت نمودار ثابت فرض شده است) بیشتر می‌شود.

۳-۳- آزمایش‌های دمای گازهای ورودی

در شکل ۱۲، نسبت طول آب پوشانی آزمایش‌های دمای گازهای ورودی آورده شده است. با بررسی شکل ۱۲، مشاهده می‌شود که در تمامی زمان‌ها (در حالت ناپایا)، با افزایش دمای گازهای ورودی، نسبت طول آب پوشانی و در نتیجه میزان آب مایع انباشته شده در کاتال کاتد کاهش می‌یابد که بدليل افزایش دمای گازهای ورودی می‌باشد، زیرا با افزایش دمای گازهای ورودی و با توجه به واکنش گرمایی الکتروشیمیایی درون پیل، رطوبت نسبی کاهش می‌یابد و میان رطوبت موجود در گازهای ورودی کاهش می‌یابد و امکان تبخیر آب موجود در کاتال کاتد افزایش می‌یابد.

با خطی‌سازی شکل ۱۲، مشاهده می‌شود که روند نسبت طول آب-پوشانی در طول زمان (حالت ناپایا)، افزایشی است و با افزایش دمای گازهای ورودی، نسبت طول آب پوشانی و در نتیجه میزان آب مایع انباشته شده با شبیه کمتری افزایش می‌یابند. همان‌طور که مشاهده می‌گردد با افزایش دمای افزایش نسبت طول آب پوشانی، کاهش می‌یابد و به عبارت دیگر با افزایش دمای تأثیر دمای گازهای ورودی بر مدیریت آب کاتال کاتد پیل-سوختی غشا پلیمری تک ماریج در طول زمان (حالت ناپایا)، کاهش می‌یابد.

با بررسی شکل ۱۳ مشاهده می‌شود با افزایش دمای گازهای ورودی، میانگین نسبت طول آب پوشانی، کاهش می‌یابد و به طور میانگین میزان آب مایع کمتری در کاتال کاتد انباشته می‌شود. این امر با توجه به تأثیر افزایش دمای گازهای ورودی بر رطوبت نسبی گاز ورودی قابل توجیه است. با افزایش دمای گازهای ورودی، ظرفیت جذب آب در گازهای ورودی افزایش می‌یابد و رطوبت نسبی کاهش می‌یابد و همچنین امکان میان رطوبت موجود در کاتال کاتد ورودی کاهش می‌یابد و همچنین امکان تبخیر آب موجود در کاتال کاتد افزایش می‌یابد. همان‌طور که مشاهده می‌گردد با افزایش دمای افزایش میانگین نسبت طول آب پوشانی، کاهش می‌یابد و به عبارت دیگر با افزایش دمای تأثیر دمای گازهای ورودی بر مدیریت آب کاتال کاتد پیل سوختی غشا پلیمری تک ماریج در حالت میانگین زمانی، کاهش می‌یابد.

۴-۵- بررسی تکرارپذیری و صحبت سنجی آزمایش‌ها

برای درنظر گرفتن خطای فردی و خطای آزمایش، تکرارپذیری هر کدام از آزمایش‌ها با انجام ۲ آزمایش در روزهای مختلف و توسط اپراتورهای متفاوت مورد ارزیابی قرار گرفت. نتایج نشان می‌دهد که محل انباشت آب مایع و تشکیل قطرات آب، در آزمایش‌های سری اول و دوم متفاوت می‌باشد ولی مقادیر نسبت طول آب پوشانی مربوط به سری دوم آزمایش‌ها کمتر از ۸٪ با مقادیر آزمایش‌های سری اول تفاوت دارد و در نتیجه آزمایش‌ها با دقت مناسبی انجام شده است. برای نمونه، نتایج این دو سری، برای آزمایش‌های بررسی تأثیر دمای گازهای ورودی بر عملکرد پیل در شکل ۱۴ آورده شده

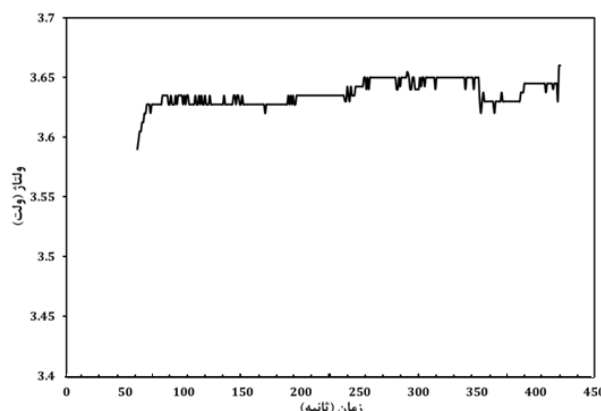
۱- با افزایش استوکیومتری کاتد و آند، میزان آب تجمع یافته در کاناال سمت کاتد در طول زمان (حالت ناپایا) و همچنین میانگین زمانی آن، کاهش می- یابد. با افزایش استوکیومتری سمت کاتد، تأثیر افزایش استوکیومتری آند بر روی نسبت طول آبپوشانی و میانگین زمانی آن و در نتیجه میزان آب انباسته شده در کاناال کاتد، کمتر می-شود. با افزایش استوکیومتری سمت آند، تأثیر افزایش استوکیومتری کاتد نیز بر میزان آب انباسته شده در کاناال کاتد کمتر می-شود. با توجه به نتایج بدست آمده در حالات ناپایا و میانگین زمانی، تأثیر استوکیومتری آند بر مدیریت آب، بیشتر از تأثیر استوکیومتری کاتد در پیل سوختی غشا پلیمری تک مارپیچ می-باشد.

۲- در تمامی زمان‌ها (در حالت ناپایا)، با ثابت نگهداشت رطوبت نسبی سمت آند برابر ۰٪ (آند خشک) یا (آند کاملاً مرطوب) و افزایش رطوبت نسبی سمت کاتد، میزان نسبت طول آبپوشانی و همچنین میانگین زمانی آن و در نتیجه میانگین میزان آب انباسته شده در کاناال کاتد، افزایش می-یابد. تأثیر افزایش رطوبت نسبی کاتد بر مدیریت آب در طول زمان (حالت ناپایا) و میانگین زمانی، در حالت آند کاملاً مرطوب بیشتر از حالت آند خشک می-باشد. با ثابت نگهداشت رطوبت نسبی سمت کاتد و افزایش رطوبت نسبی آند، میانگین نسبت طول آبپوشانی و انباسته آب در کاناال کاتد افزایش می-یابد و شبیه این افزایش با افزایش رطوبت نسبی سمت کاتد، بیشتر می-شود.

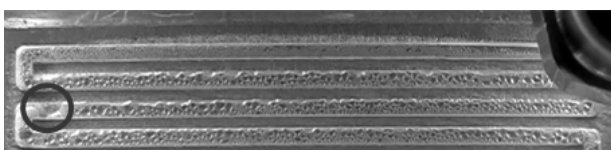
۳- در تمامی زمان‌ها و در حالت میانگین زمانی، با افزایش دمای گازهای ورودی، به ترتیب، نسبت طول آبپوشانی و میانگین زمانی آن و در نتیجه میزان آب مایع انباسته شده در کاناال کاهش می-یابد. در طول زمان، نسبت طول آبپوشانی برای تمامی دماهای ورودی افزایش یافته درحالی که با افزایش دما، شبیه نسبت طول آبپوشانی، کاهش می-یابد. با افزایش دما، شبیه کاهش میانگین نسبت طول آبپوشانی، کاهش می-یابد؛ بنابراین، با افزایش دما، تأثیر دمای گازهای ورودی بر مدیریت آب در حالت‌های ناپایا و میانگین زمانی، کاهش می-یابد.

۷- مراجع

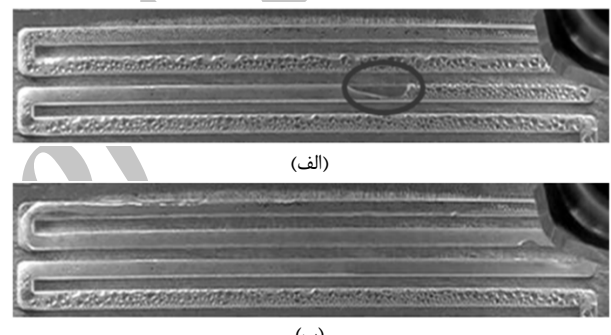
- [1] S. G. Kandlikar, Micro scale and macro scale aspects of water management challenges in PEM fuel cells, *Heat Transfer Engineering*, Vol. 29, No. 7, pp. 575-587, 2008.
- [2] R. Anderson, L. Zhang, Y. Ding, M. Blanco, X. Bi, D. P. Wilkinson, A critical review of two-phase flow in gas flow channels of proton exchange membrane fuel cells, *Power Sources*, Vol. 195, No. 15, pp. 4531-4553, 2010.
- [3] H. Li, Y. Tang, Z. Wang, Z. Shi, S. Wu, D. Song, J. Zhang, K. Fatih, J. Zhang, H. Wang, Z. Liu, R. Abouatallah, A. Mazza, A review of water flooding issues in the proton exchange membrane fuel cell, *Power Sources*, Vol. 178, No. 1, pp.103-117, 2008.
- [4] J. P. Owejan, J. J. Gagliardo, J. M. Sergi, S. G. Kandlikar, T. A. Trabold, Water management studies in PEM fuel cells, part i: fuel cell design and in situ water distributions, *International Journal of Hydrogen Energy*, Vol. 34, No. 8, pp. 3436-3444, 2009.
- [5] D. Spernjak, A. K. Prasad, S. G. Advani, Experimental investigation of liquid water formation and transport in a transparent single-serpentine pem fuel cell, *Power Sources*, Vol. 170, No. 2, pp. 334-344, 2007.
- [6] K. Tüber, D. Póczka, C. Hebling, C, Visualization of water buildup in the cathode of a transparent PEM fuel cell, *Power Sources*, Vol. 124, No. 2, pp. 403-414, 2003.
- [7] K. Sugiura, M. Nakata, T. Yodo, Y. Nishiguchi, M. Yamauchi, Y. Itoh, Evaluation of a cathode gas channel with a water absorption layer/waste channel in a PEFC by using visualization technique, *Power Sources*, Vol. 145, No. 2, pp. 526-533, 2005.
- [8] F. Y. Zhang, X. G. Yang, C. Y. Wang, Liquid water removal from a polymer electrolyte fuel cell, *Electrochemical Society*, Vol. 153, No. 2, pp. A225-A232, 2006.
- [9] A. Su, F. Weng, C. Hsu, Y. Chen, Studies on flooding in PEM fuel cell cathode channels, *International Journal of Hydrogen Energy*, Vol. 31, No. 8, pp. 1031-1039, 2006.



شکل ۱۵ ولتاژ پیل در حالت ناپایا



شکل ۱۶ پدیده طغیان (توده مسدود کننده با دایره مشخص شده است)



شکل ۱۷ (الف) توده متحرک در حال خروج، (ب) تصویر کاناال پس از خروج توده

همان‌طور که در شکل ۱۵ قابل مشاهده می-باشد، در لحظه ۳۶۰ (ثانیه) ولتاژ پیل افت می-نماید. این امر بدلیل انسداد کاناال بهوسیله یک توده آب مایع و رخ دادن طغیان می-باشد. در شکل ۱۲ مشاهده می-شود که در این لحظه نسبت طول آبپوشانی زیاد می-باشد و یک توده تشکیل شده است که این امر در شکل ۱۶ قابل مشاهده می-باشد. سپس این توده شروع به حرکت می-نماید و قسمتی از آب پیل تخلیه می-شود که همان‌طور در شکل ۱۲ مشاهده می-شود، نسبت طول آبپوشانی پس از این لحظه کاهش می-باشد و قسمتی از آب مایع پیل به وسیله این توده متحرک تخلیه می-شود که این امر در شکل ۱۷ قابل مشاهده می-باشد. در شکل ۱۷-الف، دور توده متحرک خط کشیده شده است و در شکل ۱۷-ب تصویر کاناال پس از خروج آب از کاناال بهوسیله توده متحرک و جریان گاز، آورده شده است. همان‌طور که در شکل ۱۵ قابل مشاهده می-باشد، در نتیجه ب رطرف شدن انسداد کاناال و نفوذ گاز به نواحی مسدود شده، ولتاژ پیل به تدریج شروع به افزایش می-کند.

۸- نتیجه‌گیری

در این پژوهش تعدادی از عوامل تأثیرگذار بر مدیریت آب در پیل سوختی غشا پلیمری شفاف که عبارت‌اند از: استوکیومتری کاتد و آند، رطوبت نسبی کاتد و آند و دمای گازهای ورودی، با استفاده از روش تصویربرداری اپتیکال، به صورت آزمایشگاهی مورد بررسی قرار گرفته است. نتایج حاصل از پژوهش در ادامه آورده می-شود:

- [23] T. Mukaide, S. Mogi, J. Yamamoto, A. Morita, S. Koji, K. Takada, K. Uesugi, K. Kajiwara, T. Noma, In situ observation of water distribution and behaviour in a polymer electrolyte fuel cell by synchrotron x-ray imaging, *Synchrotron Radiation*, Vol. 15, No. 4, pp. 329-334, 2008.
- [24] S. Tsushima, K. Teranishi, S. Hirai, Magnetic resonance imaging of the water distribution within a polymer electrolyte membrane in fuel cells, *ECS Solid-State Letters*, Vol. 7, No. 9, pp. A269-A272, 2004.
- [25] K. Teranishi, S. Tsushima, S. Hirai, Study of the effect of membrane thickness on the performance of polymer electrolyte fuel cells by water distribution in a membrane, *ECS Solid-State Letters*, Vol. 8, No. 6, pp. A281-A284, 2005.
- [26] S. Tsushima, K. Teranishi, S. Hirai, Water diffusion measurement in fuel-cell spe membrane by nmr, *Energy*, Vol. 30, No. 2-4, pp. 235-245, 2005.
- [27] S. Tsushima, K. Teranishi, K. Nishida, S. Hirai, Water content distribution in a polymer electrolyte membrane for advanced fuel cell system with liquid water supply, *Magnetic Resonance Imaging*, Vol. 23, No. 2, pp. 255-258, 2005.
- [28] J. P. Owejan, T. A. Trabold, D. L. Jacobson, D. R. Baker, D. S. Hussey, M. Arif, In situ investigation of water transport in an operating pem fuel cell using neutron radiography: part 2-transient water accumulation in an interdigitated cathode flow field, *International Journal of Heat and Mass Transfer*, Vol. 49, No. 25-26, pp. 4721-4731, 2006.
- [29] T. A.Trabold, J. P. Owejan, D. L. Jacobson, M. Arif, P. R. Huffman, In situ investigation of water transport in an operating pem fuel cell using neutron radiography: part 1-experimental method and serpentine flow field results, *International Journal of Heat and Mass Transfer*, Vol. 49, No. 25-26, pp. 4712-4720, 2006.
- [30] M. M. Mench, Q. L. Dong, C. Y. Wang, In situ water distribution measurements in a polymer electrolyte fuel cell, *Power Sources*, Vol. 124, No. 1, pp. 90-98, 2003.
- [31] X. G. Yang, N. Burke, C. Y. Wang, K. Tajiri, K. Shinohara, Simultaneous measurements of species and current distributions in a pefc under low-humidity operation, *Electrochemical Society*, Vol. 152, No. 4, pp. A759-A766, 2005.
- [32] A. Bazylak, Liquid Water visualization in pem fuel cells: a review, *International Journal of Hydrogen Energy*, Vol. 34, No. 9, pp. 3845-3857, 2009.
- [33] J. St-Pierre, PEMFC In situ liquid-water-content monitoring status, *Electrochemical Society*, Vol. 154, No. 7, pp. B724-B731, 2007.
- [34] M. M. Mench, *Fuel cell Engines*, pp. 47, New Jersy:John Wiley & Sons, 2008.
- [10] S. Ge, C. Y. Wang, Liquid water formation and transport in the PEFC anode, *Electrochemical Society*, Vol. 154, No. 10, pp. B998-B1005, 2007.
- [11] X. Liu, H. Guo, F. Ye, C. F. Ma, Water flooding and pressure drop characteristics in flow channels of proton exchange membrane fuel cells, *Electrochimica Acta*, Vol. 52, No. 11, pp. 3607-3614, 2007.
- [12] X. Liu, H. Guo, F. Ye, C. F. Ma, Flow dynamic characteristics in flow field of proton exchange membrane fuel cells, *International Journal of Hydrogen Energy*, Vol. 33, No. 3, pp. 1040-1051, 2008.
- [13] T. Ous, C. Arcoumanis, Visualization of water accumulation in the flow channels of PEMFC under various operating conditions, *Power Sources*, Vol. 187, No. 1, pp. 182-189, 2009.
- [14] D. Spernjak, S. G. Advani, A. K. Prasad, Simultaneous neutron and optical imaging in pem fuel cells, *Electrochemical Society*, Vol. 156, No. 1, pp. B109-B117, 2009.
- [15] I. S. Hussaini, C. Y. Wang, Visualization and quantification of cathode channel flooding in PEM fuel cells, *Power Sources*, Vol. 187, No. 2, pp. 444-451, 2009.
- [16] J. M. Sergi, S. G. Kandlikar, Quantification and characterization of water coverage in PEMFC gas channels using simultaneous anode and cathode visualization and image processing, *International Journal of Hydrogen Energy*, Vol. 36, No. 19, pp. 12381-12392, 2011.
- [17] M. I. Rosli, D. J. Borman, D. B. Ingham, M. S. Ismail, L. Ma, M. Pourkashanian, Transparent PEM fuel cells for direct visualization experiments, *Fuel Cell Science and Technology*, Vol. 7, No. 6, pp. 61015-21, 2010.
- [18] Z. Zhan, C. Wang, W. Fu, Mu Pan, Visualization of water transport in a transparent PEMFC, *International Journal of Hydrogen Energy*, Vol. 37, No. 1, pp. 1094-1105, 2012.
- [19] E. Afshari, S. A. Jazayeri, Performance analysis of a polymer electrolyte fuelcell system for automotive application, *The Journal of Engine Research*, Vol. 16, No. 16, pp. 3-15,2009. (In Persian)
- [20] R. Roshandel, B. Farhaniye, Simulation of water management in the pemfc, in *The 17th International Power System Conference*, Tehran, Iran, 2002. (In Persian)
- [21] M. Rashidi Benam, M. Samipoor, A. Jamekhorshid, Investigation of flooding in the pemfc by mathematical model of catalyst Layer, in *The 2nd Conference of Hydrogen and Fuel Cell*, Tehran, Iran, 2012. (In Persian)
- [22] J. O'rourke, M. Ramani, M. Arcak, In situ detection of anode flooding of a pem fuel cell, *International Journal of Hydrogen Energy*, Vol. 34, No. 16, pp. 6765-6770, 2009.